

И Н С Т И Т У Т  
ЯДЕРНОЙ ФИЗИКИ СОАН СССР

И Я Ф 73 - 70

Б.А.Баклаков, В.Ф.Веремеенко, М.М.Карлинер,  
Э.А.Купер, Б.В.Левичев, А.Д.Орешков, И.Я.Протопопов

АППАРАТУРА ДЛЯ МАГНИТНЫХ ИЗМЕРЕНИЙ  
В ЭЛЕКТРОМАГНИТЕ ВАПП - 4

Новосибирск

1970

Б.А.Баклацов, В.Ф.Веремеенко, М.М.Карлинер, Э.А.Купер,  
Б.В.Левичев, А.Д.Орешков, И.Я.Протопопов

### А Н Н О Т А Ц И Я

Для проведения большого объёма магнитных измерений секций электромагнита протон-антипротонного накопителя ВАПГ-4 разработана быстродействующая многоканальная аппаратура, в которой в качестве измерительных элементов используются датчики Холла, поочередно подключенные с помощью коммутатора на полевых транзисторах через масштабный усилитель к цифровому вольтметру. Результаты измерений могут быть получены на перфоленте, на магнитной ленте или введены непосредственно в ЭВМ. Время одного измерения 40 мсек, погрешность не превышает  $\pm (3 - 5).10^{-4}$ .

В связи с большим объёмом магнитных измерений электромагнита протон-антипротонного накопителя ВАПП-4 в Институте ядерной физики (г.Новосибирск) была разработана и изготовлена усовершенствованная измерительная аппаратура, в которой для измерений магнитного поля используются датчики Холла, распределённые по рабочей области сечения магнита. Применение коммутатора на полевых транзисторах и использование непосредственной связи с ЭВМ позволило резко увеличить быстродействие системы по сравнению с системой, описанной в работе 1.

В качестве измерительных элементов используются датчики Холла, разработанные в СКБ ИП АН СССР (г.Ленинград). Типовые характеристики датчиков приведены в таблице 1. Эти датчики Холла отличаются малым дрейфом э.д.с. неэквипотенциальности и слабой зависимостью  $2$  её от тангенциальной составляющей магнитного поля. Калибровка датчиков производится в специальном градуировочном магните, поле которого стабилизировано с помощью ядерного магнитометра с точностью не хуже  $\pm 1.10^{-4}$ .

Блок датчиков Холла выполнен аналогично описанному в работе 1. Десять датчиков измеряют вертикальную компоненту магнитного поля (два ряда по 5 датчиков), два датчика - радиальную. Кроме них в блок вмонтированы термосопротивления, сигналы с которых используют в ЭВМ для внесения температурной поправки, что позволило отказаться от терmostатирования.

Блок-схема измерительной системы представлена на рис.1, а её общий вид на рис.2.

Датчики Холла соединены последовательно и питаются от одного источника стабильного тока (1) с долговременной нестабильностью менее  $\pm (2 - 3).10^{-4}$ . Схема генератора тока изолирована и имеет малую ёмкость по отношению к земле и питающей сети (200 пФ).

Блок датчиков Холла (2) перемещается внутри камеры электромагнита по точно выполненным направляющим. Движение блока осуществляется непрерывно с помощью винта длиной около 4 метров, с которым механически связан световой датчик продольной координаты (3). Точность определения координаты  $\pm 0,1$  мм. Формирующее устройство светового датчика выдаёт импульсы синхронизации через 1 см. пути, пройденного блоком датчиков.

Выходы датчиков поочередно подключаются при помощи коммутатора на полевых транзисторах (4) к прецизионному усилителю постоянного тока (3). Схема коммутатора приведена на рис.3.

Включение любого датчика (ДХ1, ДХ2, и т.д. на рис.3) осуществляется при замыкании двух ключей на полевых транзисторах КП102Е. Полевой транзистор открыт, когда напряжение между стоком и затвором равно нулю, и закрыт, когда напряжение на затворе относительно истока больше или равно потенциалу запирания, который обычно равен + 2 - 3 в. Управление каналом осуществляет коммутирующий каскад на транзисторе КТ301А, потенциал на коллекторе которого может принимать два значения: + 8 в. - 0,6 в. Коллектор коммутирующего транзистора соединен с затворами двух полевых транзисторов кремниевыми диодами КД503Б, шунтированными ёмкостями 200 пф, которые служат для ускорения переключения. Такая схема управления ключами позволяет поддерживать на затворе открытого транзистора нулевой потенциал относительно истока (режим с плавающим затвором).

Падение напряжения, возникающее за счёт того, что токи затворов запертых транзисторов в других каналах протекают по отпетому ключу, ухудшает точность измерения, но при одинаковых сопротивлениях пары ключей в открытом состоянии и одинаковых токах затвора происходит компенсация этих напряжений. Поэтому, полевые транзисторы подбирались в пары с одинаковыми сопротивлениями в открытом состоянии и одинаковыми токами затворов. Отобранные транзисторы обладают следующими характеристиками: ток затвора в закрытом состоянии не более  $10^{-9}$  а, сопротивление ключа в открытом состоянии не более 3 ком, в закрытом не менее  $10^{10}$  ом. Симметрия схемы коммутатора уменьшает синфазную наводку от сети. Для уменьшения коммутационных помех предусмотрен канал, закорачивающий вход усилителя в момент переключения на время порядка 200 мксек. Монтаж коммутатора произведен на стеклотекстолите и фторпласте для исключения утечек.

Температурный дрейф разностной э.д.с., возникающей вследствие несбалансированности токов затворов и сопротивлений ключей равен 0,2 - 1,0 мкв/град.С в рабочем диапазоне температур (10 - 30 град.С).

Масштабный усилитель постоянного тока выполнен по схеме "модулятор - усилитель - демодулятор" с преобразованием сигнала на полевых транзисторах КП102Е. Применение полевых транзисторов в модуляторе позволило получить малый температурный ( $2 \text{ мкв/град.С}$ ) и временной ( $5 \text{ мкв за 8 часов}$ ) дрейф нуля усилителя. Для получения большого входного сопротивления (это необходимо, так как отпетый ключ на полевом транзисторе имеет сравнительно большое сопротивление) и стабильного коэффициента усиления усилитель охвачен перекрестной обратной связью (рис.4). Такая обратная связь оказалась возможной благодаря тому, что вход усилителя балансный (ослабление синфазного сигнала усилителем без обратной связи 120 децибелл) и источник сигнала не заземлен. Усилитель сбалансирован таким образом, что входное сопротивление равно  $30 \text{ Мом}$ . Нестабильность коэффициента усиления в рабочем диапазоне температур не более  $3 \cdot 10^{-4}$ . Постоянная времени усилителя порядка  $1\text{мсек}$ .

Для уменьшения электромагнитной наводки проводники, соединяющие датчики Холла с усилителем, перевиты, а вся схема экранирована. Уровень наводки, приведенный ко входу усилителя составляет  $20 - 30 \text{ мкв}$ , но её влияние уменьшается из-за того, что запуск цифрового вольтметра В2-22(7) синхронизирован с сетью.

Измеренное вольтметром напряжение в виде параллельного двоично-десятичного кода поступает на преобразователь кода (9), который трансформирует код в параллельно-последовательный для передачи в МОЗУ ЭВМ. Время передачи одной цифры в виде пятиразрядного параллельного кода -  $60 \text{ мксек}$ . Для наладочных и калибровочных работ предусмотрена работа на перфоратор ПЛ-20. Кроме того, имеется возможность записи результатов измерения на магнитофонную ленту. При работе непосредственно на ЭВМ (без магнитофона) предусмотрена возможность использования телетайпного канала ЭВМ для ввода данных в машину, управления программой обработки измерений и оперативного получения информации о ходе измерений.

Автоматический цикл измерений в одном сечении электромагнита включает запись нуля усилителя при закороченном входе, последовательный опрос 12 датчиков Холла, проверку коэффициента усиления усилителя и тока датчиков, контроль температуры блока датчиков, запись значения тока электромагнита. Управ-

ление каналами и цифровым вольтметром осуществляется программатором (5). Начало цикла определяется импульсом синхронизации от датчика продольной координаты. Время одного измерения равно 40 мсек, время измерений в одном сечении (т.е. длительность цикла) равно 640 мсек. Измерение производится без установки блока датчиков, который проходит путь длиной 0,5 см за полный цикл. На рис.5 показана временная диаграмма работы системы с частотой 25 гц. Работа системы синхронизирована с частотой питающей сети. Предусмотрены режимы внешнего ручного и автоматического запусков. В момент начала цикла в ЭВМ посыпается значение координаты блока датчиков.

Перед началом измерений блоком исходных данных (8) в ЭВМ посыпаются следующие данные: стандартный код, означающий начало очередного измерения; номер измерения; номер магнита; дата измерения; шифр оператора, производящего измерения; резервная информация.

Благодаря тому, что в течение цикла измерений в одном сечении электромагнита в ЭВМ заносятся значения нуля и коэффициента усиления усилителя, а также тока датчиков Холла, существенно снижаются требования на долговременную стабильность этих параметров.

Суммарная погрешность данной измерительной системы не превышает  $\pm(3 - 5) \cdot 10^{-4}$ .

Таблица 1.

ХАРАКТЕРИСТИКИ ДАТЧИКОВ ХОЛЛА СКБ ИП АН СССР

Чувствительность датчиков  
при рабочем токе, мкв/эрстед  $10 - 15$

Рабочий ток, ма  $160$

Температурный коэффициент  
чувствительности, %/град.С  $0,01 - 0,03$

Входное и выходное  
сопротивления, ом  $1 - 3$

Э.д.с. неэквипотенциальности  
при рабочем токе не более, мкв  $100$

Температурный коэффициент  
э.д.с. неэквипотенциальности,  
мкв/град.С  $1 - 2$

Рабочая площадь датчика,  $\text{мм}^2$   $1,5 \times 0,5$

## Л и т е р а т у р а

1. Б.А.Баклаков, М.М.Карлинер, Б.В.Левичев, А.С.Медведко, И.Я.Протопопов. "Устройство для прецизионных измерений магнитного поля в электромагните накопителя". Труды Все- союзного совещания по ускорителям заряженных частиц. Москва, 9-16 октября 1968, том 1, стр.674.
2. Б.А.Баклаков, М.М.Карлинер, Б.В.Левичев, А.С.Медведко, И.Я.Протопопов. "Применение датчиков Холла для прецизи- онных измерений магнитного поля". Препринт ИЯФ 9-17 СО АН СССР, Новосибирск, 1970.

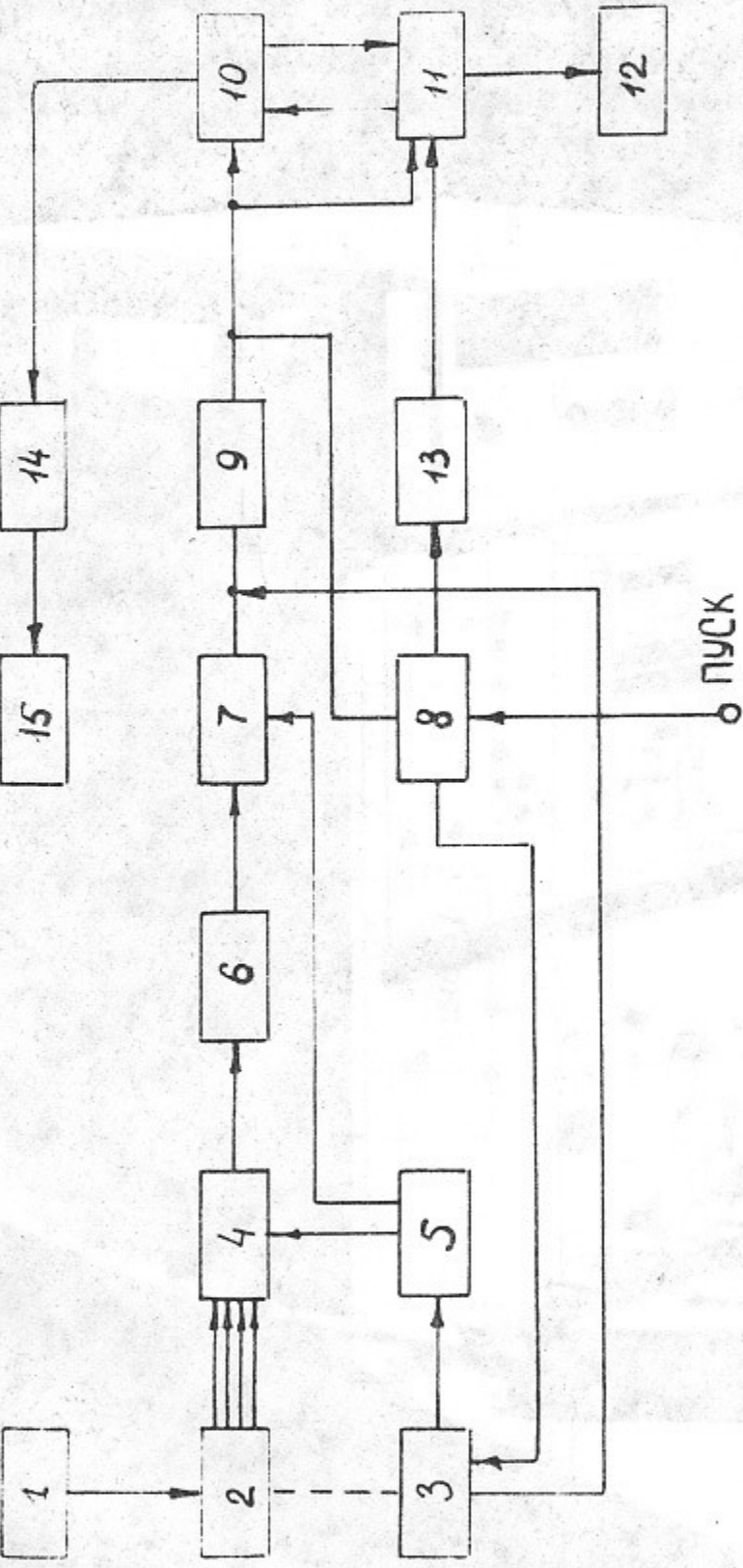


Рис.1. Блок-схема измерительной системы, где 1-генератор тока; 2-блок датчиков Холла; 3-блок перемещения и измерения координаты; 4-коммутатор; 5-программатор; 6-усилитель постоянного тока; 7-цифровой вольтметр; 8-блок исходных данных; 9-преобразователь кода; 10-вычислительная машина "Минск-22"; 11-буфер; 12-магнитофон; 13-блок управления записи; 14-преобразователь кода; 15-электрическая пищущая машинка.

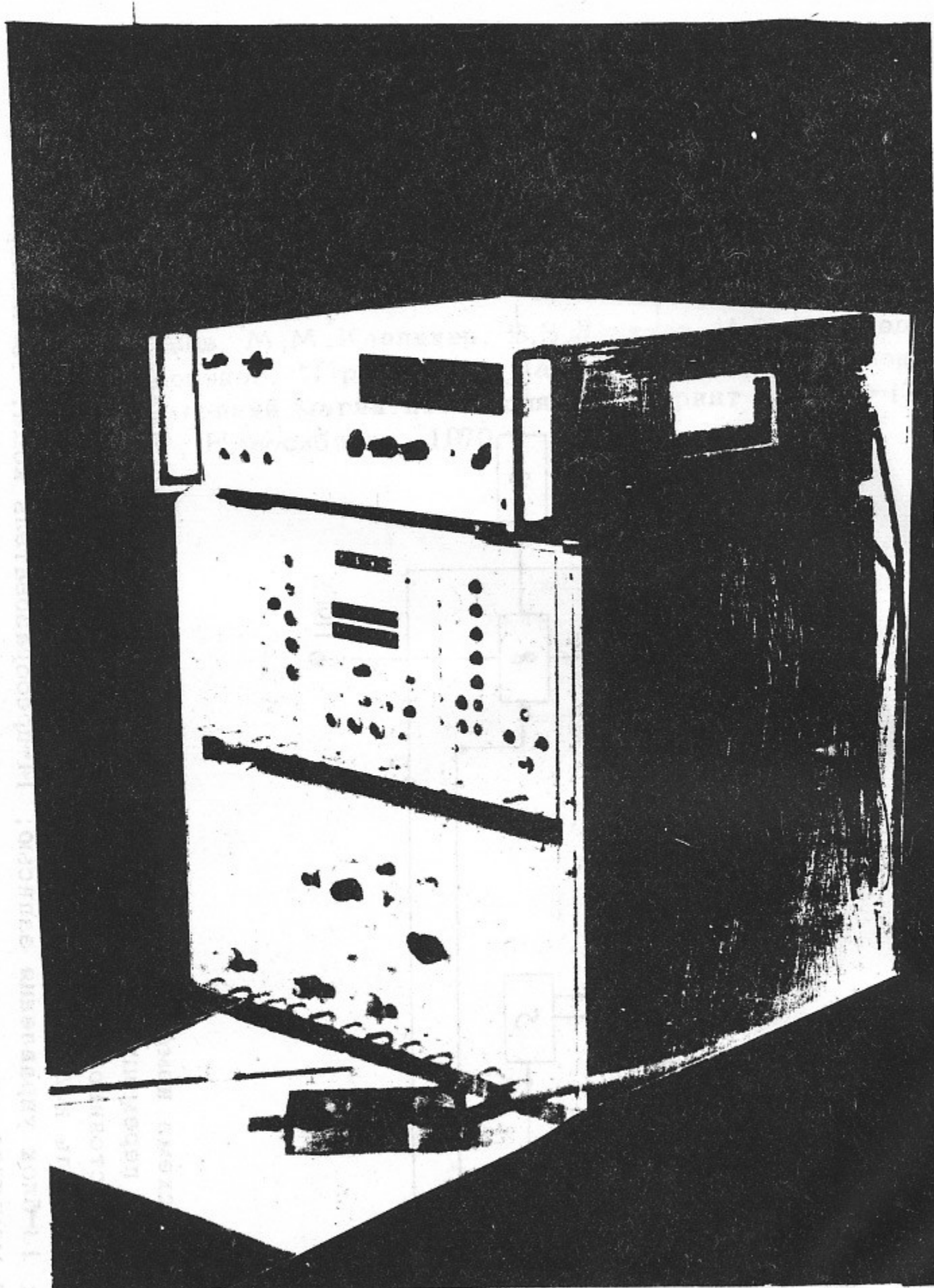


Рис.2. Фотография измерительной системы.

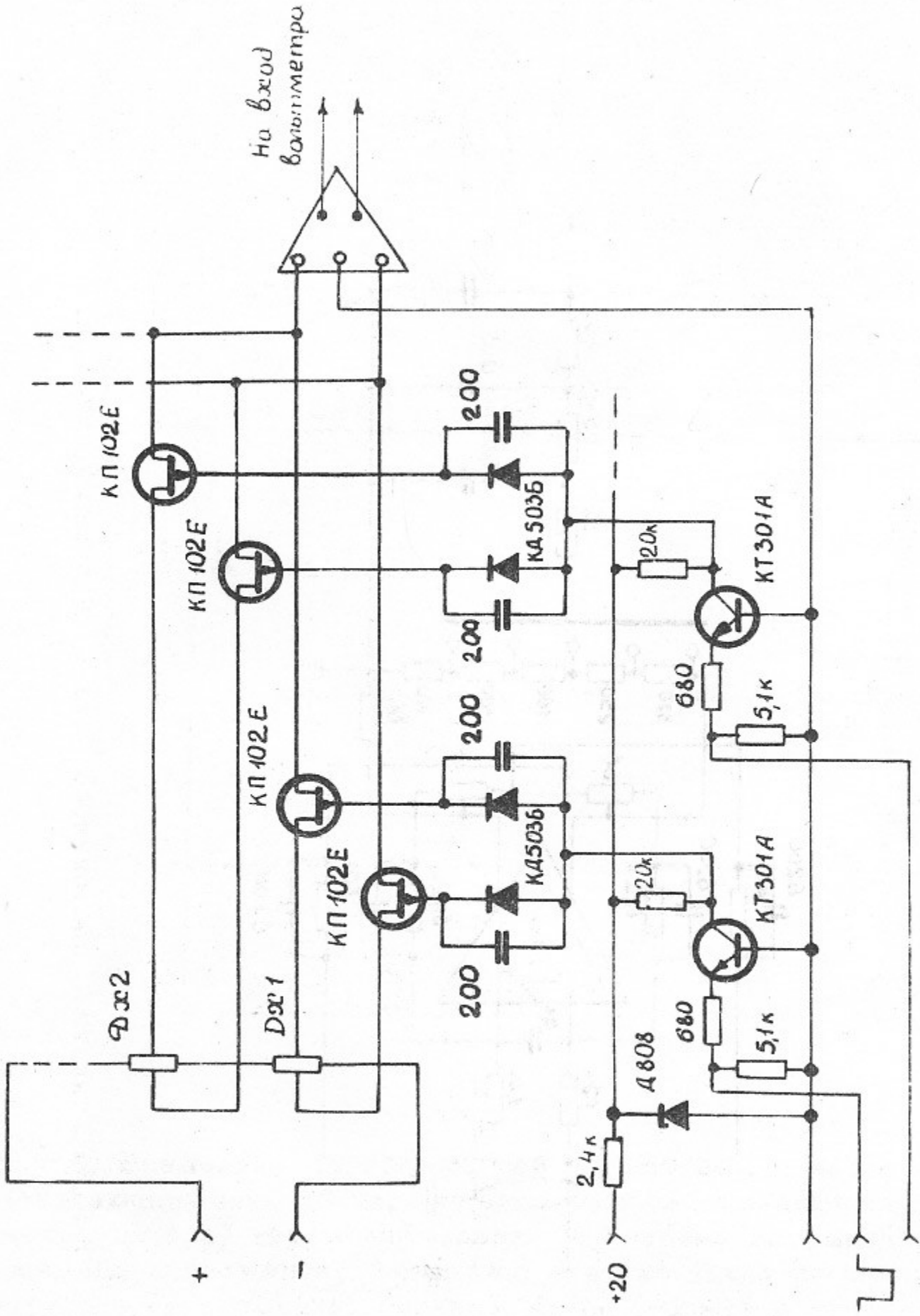


Рис.3. Схема коммутатора на полевых транзисторах.

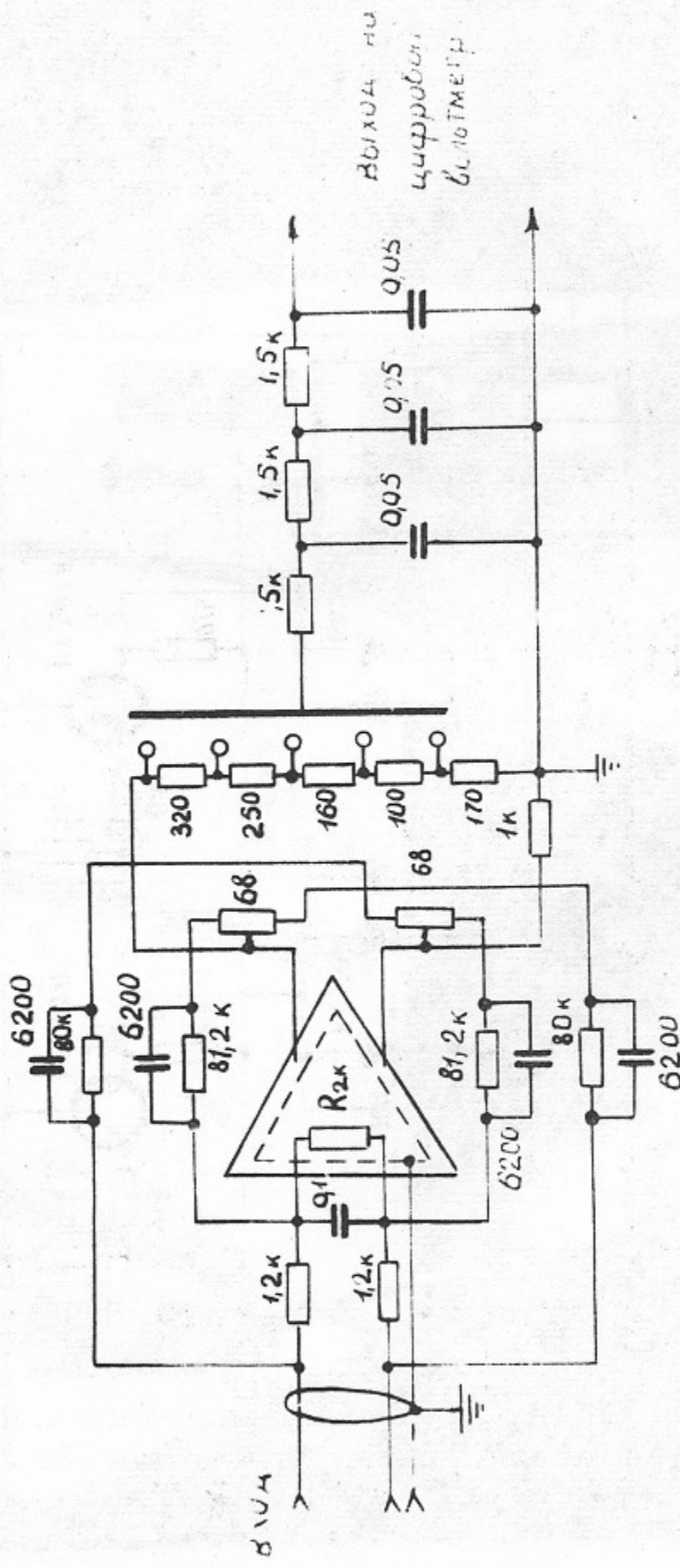


Рис.4. Усилитель постоянного тока с обратными связями.

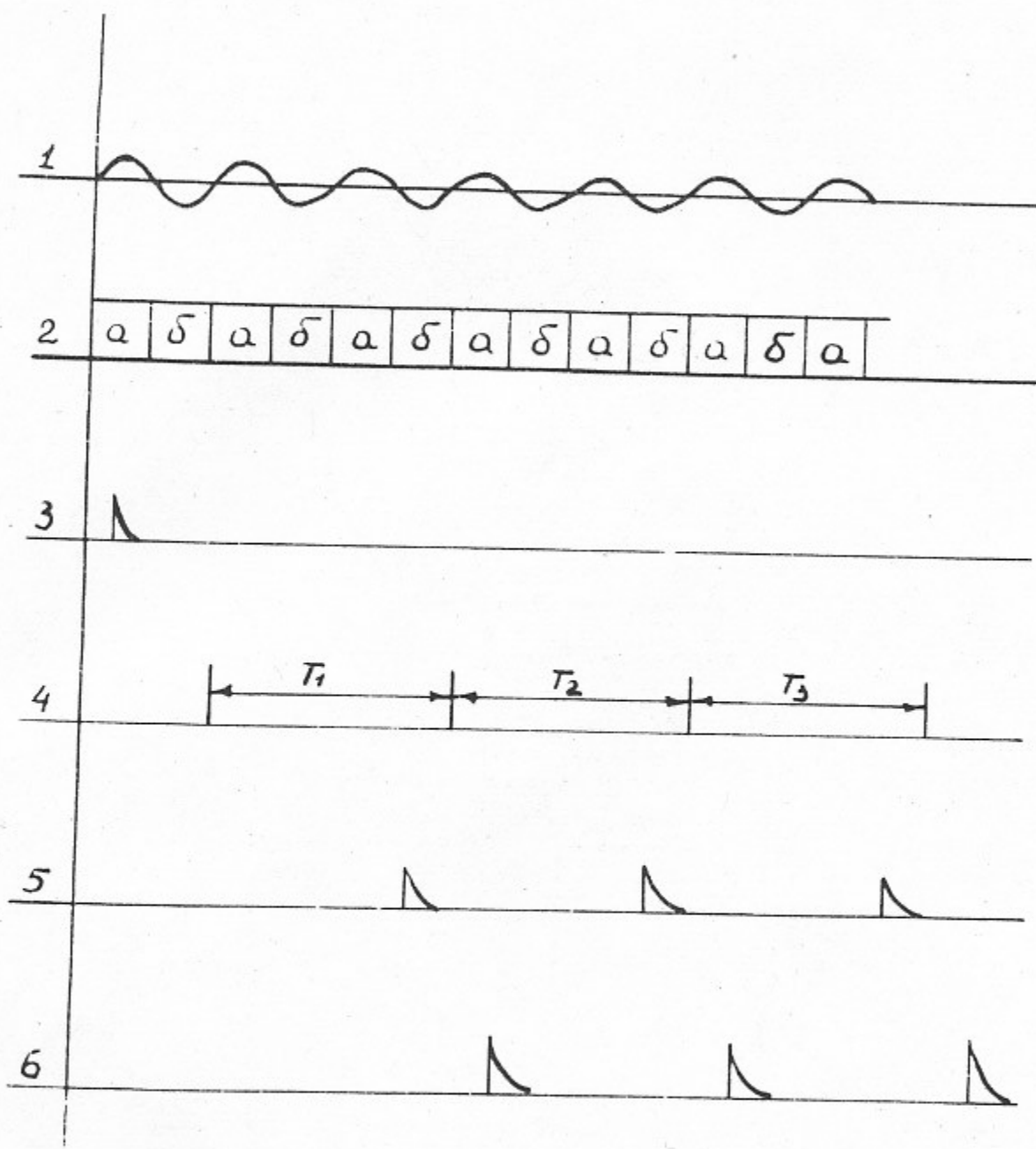


Рис.5. Временная диаграмма работы системы с частотой 25 гц:  
 1-питающая сеть 50 гц; 2-диаграмма работы цифрового вольтметра, где а) -время измерения, б) -время запоминания измеряемого напряжения; 3-импульс запуска цикла измерений; 4-диаграмма переключения каналов, где  $T_1$ -время в течение которого включен первый канал,  $T_2$ -время в течение которого включен второй канал и т.д.; 5-импульсы запуска вольтметра; 6-импульсы запуска преобразователя кода.

---

Ответственный за выпуск А.Д.Орешков

Подписано к печати **7.09.70**

Усл. **0,6** печ.л., тираж **200** экз. Бесплатно.

Заказ № **73** . ПРЕПРИНТ

---

Отпечатано на ротапринте в ИЯФ СО АН СССР, ив